



Journées Nationales d'infectiologie

du mercredi 11 juin 2025 au vendredi 13 juin 2025

Journée Nationale de Formation des Paramédicaux en Infectiologie Jeudi 12 juin 2025

Best-of en Infectiologie « Infections Emergentes »

Dr Simon Bessis

Unité de Biologie des Infections Virales Emergentes,

CNR des fièvres hémorragiques virales, Institut Pasteur 13 juin 2025













Journées Nationales d'infectiologie

du mercredi 11 juin 2025 au vendredi 13 juin 2025

Journée Nationale de Formation des Paramédicaux en Infectiologie Jeudi 12 juin 2025

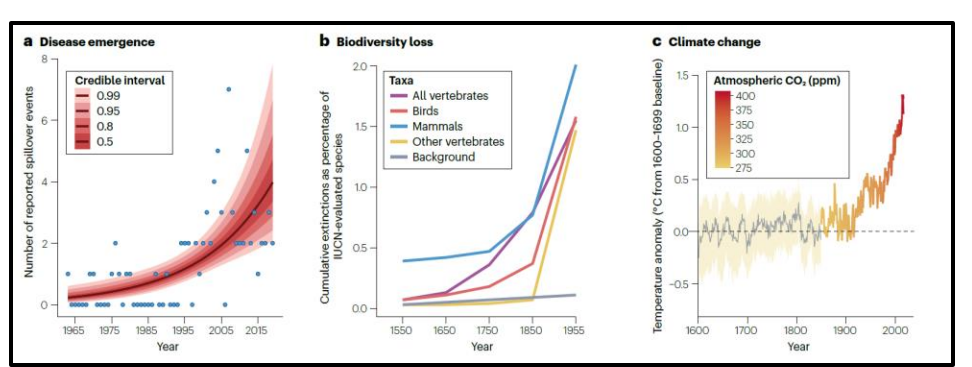
Déclaration d'intérêt de 2014 à 2024

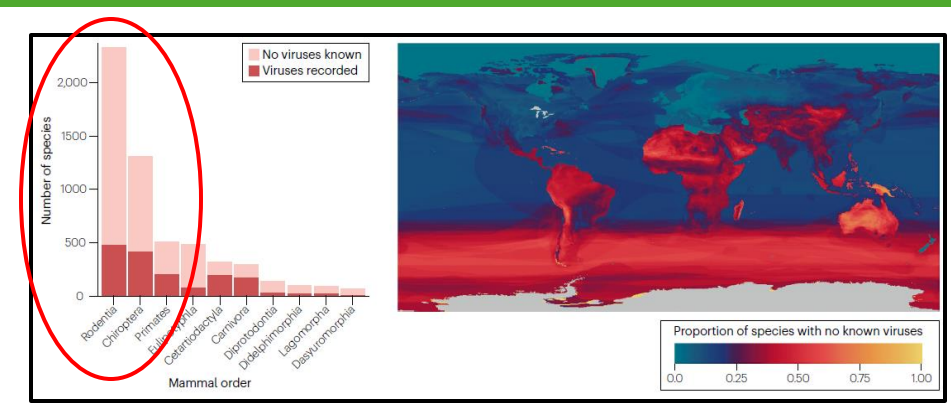
- Intérêts financiers : financement de congrès et financement d'hébergement, de formations mais sans rapport avec cette présentation
- Liens durables ou permanents : Aucun
- Interventions ponctuelles : Aucun
- Intérêts indirects : Aucun

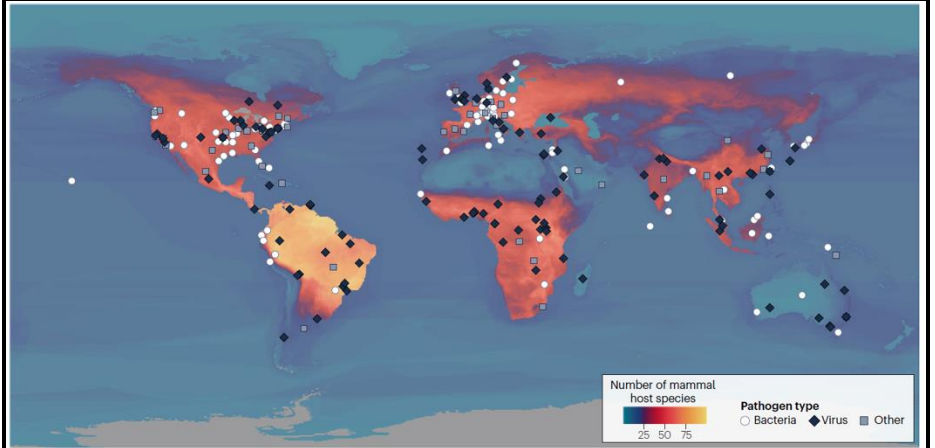
Le siècle des émergences...



- probabilité de « spillover » augmente au même rythme que la perte de biodiversité et que le réchauffement climatique
- Les virus sont les pathogènes les plus à risque d'effectuer ce débordement
- Le monde viral zoonotique encore très largement inconnu (Chiroptère, Rodentia)







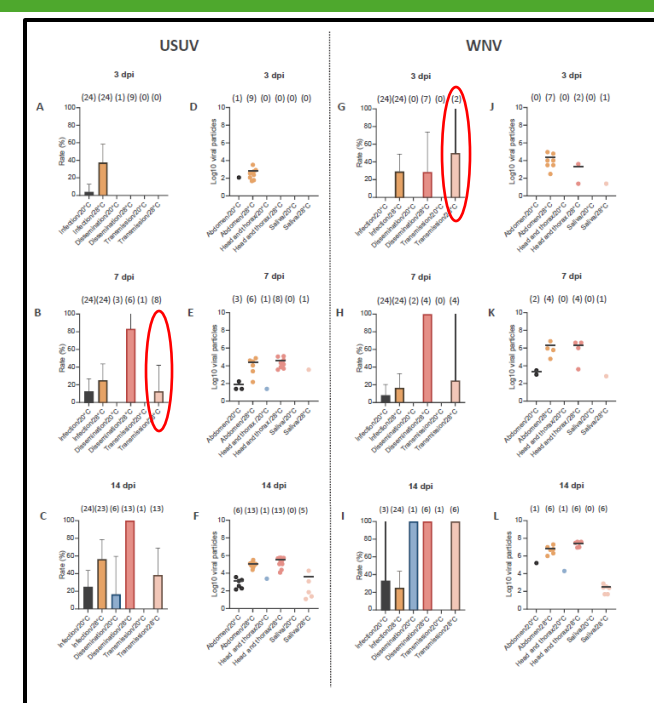
Carlson et al. Nat. Rev. Biodivers. 1, 32-49 (2025).

Aedes albopictus et compétence vectorielle



Aedes albopictus is a competent vector of five arboviruses affecting human health, greater Paris, France, 2023

- A.albopictus vecteur connu pour Dengue, Chikungunya et Zika
- Evaluation expérimentale de la transmission de 5 arboviroses (Dengue, Chik, Zka, Usutu, West-Nile)
- Moustiques prélevés en région parisienne (92)
- Estimation de la compétence vectorielle par mesure de la capacité d'infection (IR), dissémination (SDR) et transmission (STR) après exposition au virus (repas sanguin)
- Incubation 20°C et 28°C



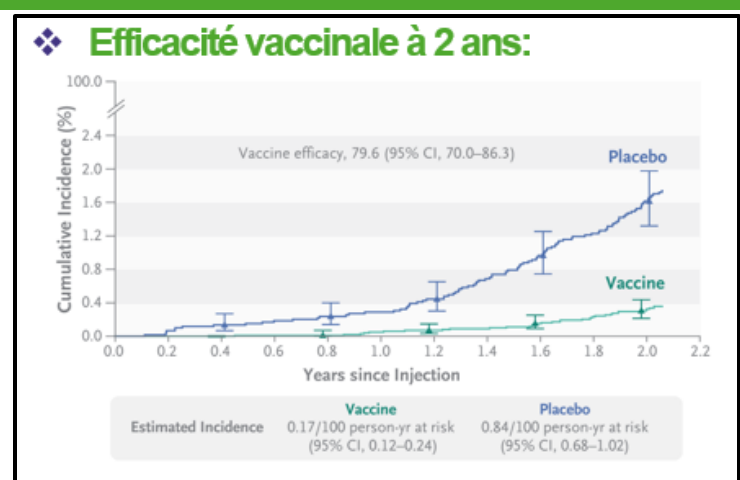
A.Albopictus est capables de transmettre les principales arboviroses présentes en France dont 2 transmises normalement par des Culex !

Dengue



Live, Attenuated, Tetravalent Butantan–Dengue Vaccine in Children and Adults

- Vaccin vivant atténué tétravalent Butantan-DV
 - virus DENV-1, DENV-3, DENV-4 atténués + chimère DENV-2/DENV-4
- Essai phase 3 double aveugle, randomisé, contrôlé vs placebo, multicentrique
- Efficacité et tolérance d'une dose unique de vaccin
- Critères de jugement :
 - Incidence dengue symptomatique, confirmée virologiquement
 - > 28 j après vaccination avec suivi à 2 ans
- 16235 participants âgés de 2 à 59 ans





Toscana virus



Human neuroinvasive Toscana virus infections in Italy from 2016 to 2023: Increased incidence in 2022 and 2023

- Activité intense en 2022-2023 des phlébotomes / été caniculaire
- Identifier la distribution spatio-temporelle et les groupes à risque des infections neuro-invasives par le TOSV en Italie en 2022-23 par rapport à 2016-2021
- Etude rétrospectifs des cas autochtones confirmés
- 2022-23: 276 cas notifiés (incidence annuelle moyenne : 2,34/1 000 000 de population) vs 331 cas en 2016-21 (0,92/1 000 000)
- Augmentation de l'incidence se prolongeant en septembre
- Facteurs de risque:
 - Ruraux vs urbains [IRR de 2,89 (IC 95 % : 2,01-4,17)]
 - Masculin [2,17 (IC 95%: 1,66 2,84)]
 - l'âge de travailler (19-67 ans) et l'âge > 67 ans (vs ≤ 18 ans), [5,31 (IC 95 % : 2,81-10,0) et 5,06 (IC 95 % : 2,59-9,86)] respectivement

Confirmed autochthonous cases of neuroinvasive Toscana virus infection by month of symptom onset and annual incidence. Italy. 2016–2023 (n=607 cases) Autochthonous neuroInvasive TOSV cases Month of symptom once (as notified in the national surveillance system). For 2016–21, a total of 330 cases are plotted rather than 331 as one case did not have an identified region of infection/exposure. Data are up to January 2024. A detailed map with the regions/APs of Italy is provided in

Fotakis Emmanouil Alexandros et al. Euro Surveill. 2025;30(2):pii=2400203

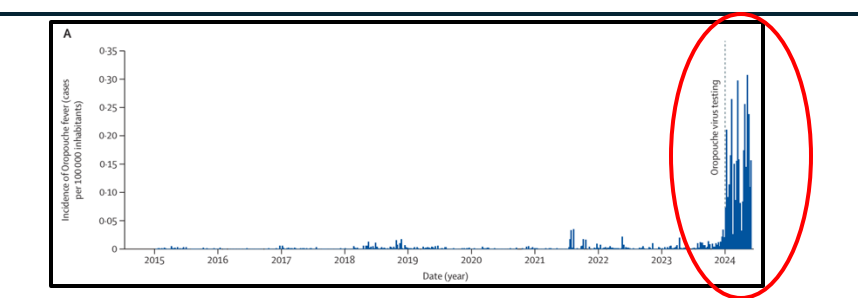
Virus Oropouche



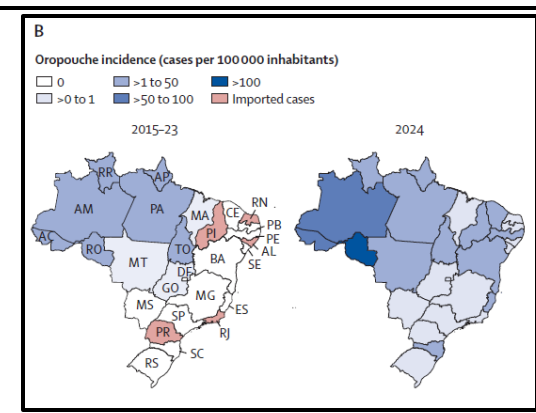


Gabriel C Scachetti*, Julia Forato*, Ingra M Claro*, Xinyi Hua*, Bárbara B Salgado*, Aline Vieira, Camila L Simeoni, Aguyda R C Barbosa, Italo L Rosa, Gabriela F de Souza, Luana C N Fernandes, Ana Carla H de Sena, Stephanne C Oliveira, Carolina M L Singh, Shirlene T S de Lima, Ronaldo de Jesus, Mariana A Costa, Rodriga B Kato, Josiene F Rocha, Leandro C Santos, Janete T Róchigues, Marielton P Cunha, Ester C Sabino, Nuno R Faria, Scott C Weaver, Camila M Romano, Prites Lalwanft, 10sd Liuž Proenca-Modenat, William M de Souzat

- Epidémie Oropouche depuis décembre 2023 (> 10 000 cas en 2024)
- Etude observationnelle sur la dynamique spatiale et temporelle :
 - Echantillons de personnes avec syndrome fébrile ou ATCD d'Oropouche dans 2 villes de l'État d'Amazonas au Brésil entre 2015-2024
- Près de 82 % cas diagnostiqués survenus en 2024
 - ⇒ Incidence x60 vs 2015-2023



- Nouveau réassortant de virus Oropouche : AM0088
 - Réplication in vitro plus rapide et élevée
 - Phénotype plus virulent
- Moindre efficacité des sérums de sujets ayant une infection antérieure pour neutraliser le nouveau réassortant d'Oropouche
- Virulence plus importante avec un risque d'échappement immunitaire du nouveau réassortant



Scachetti et al. Lancet Infect Dis 2024 Oct 15:S1473-3099(24)00619-4

Virus Oropouche



The NEW ENGLAND JOURNAL of MEDICINE CORRESPONDENCE

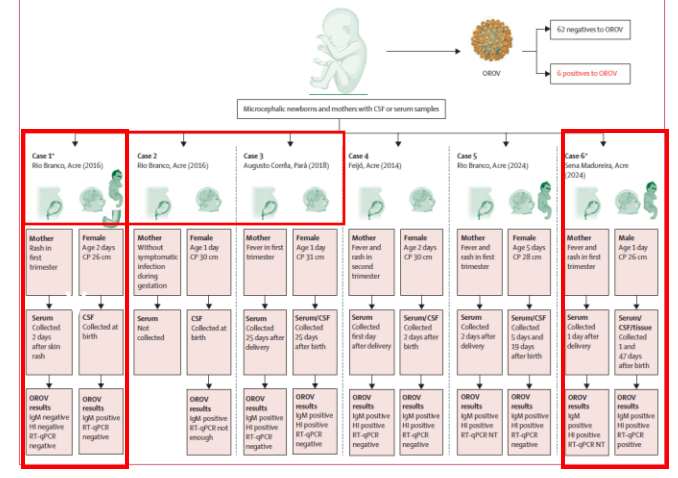
- Première description récente d'une transmission materno-fœtale dans l'état du Ceara (Brésil
- Femme 40 ans Infection à OROV à 30 SA
- Mort fœtal in utero à 32 SA documentation passage viral (RT-PCR positive prélèvement fœtaux)



Newborns with microcephaly in Brazil and potential vertical transmission of Oropouche virus: a case series

- Etude rétrospective des cas de microcéphalie et autres malformations congénitales suspects de Zika (2015-2021) au Brésil
- Analyse de 68 échantillons : 65 cas de malformations congénitales (2015-21) et de 3 cas en 2024

⇒ possible transmission verticale



das Neves Martins et al. Lancet Infect Dis 2025 :S1473-3099(24)00617-0

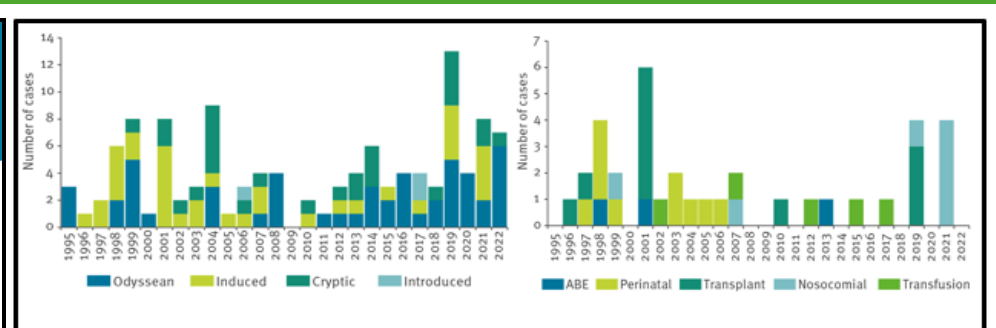
Paludisme



Locally acquired malaria: a retrospective analysis of long-term surveillance data, European France, 1995 to 2022

- Description des cas de paludisme autochtones en France hexagonale de 1995 à 2022
- 3 bases de données de surveillance (SPF, CNR)
- 117 cas de paludisme autochtones :
 - 88 % P. falciparum
 - Hommes (56%); âge médian 34,5 ans
 - Patients nés dans un pays endémique d'Afrique (52 %)
 - 24 cas de paludisme sévère (22 %)
 - 7 décès (7 %)
 - Délai médian entre symptômes et diagnostic : 4 jours (0-37 j)

Y penser devant toute fièvre inexpliquée avec thrombopénie même sans antécédent de voyage



- 44 % cas paludisme « odysséen » (aéroport, bagage)
- 31 % cas paludisme induit (sang, transplantation...)
- 23% cas paludisme cryptique
- Explications du paludisme « odysséen » :
 - Augmentation du trafic aérien
 - Températures élevées pendant la saison estivale

Paludisme



Evidence of artemisinin partial resistance in northwestern Tanzania: clinical and molecular markers of resistance

- Résistance partielle à l'artémisinine décrite en Tanzanie (2021)
- Impact de la résistance sur l'efficacité des ACT en Tanzanie
- Du 29/04/2022 au 01/09/2022
- Enfants de 6 mois à 10 ans avec parasitémie P. falciparum
- 2 ACT: artéméther-luméfantrine ou artésunate-amodiaquine
- Critère de jugement :
 - Taux de guérison après traitement par ACT
- 176 patients (88 dans chaque groupe de traitement)
- Taux de guérison :
 - 98 % dans le groupe artéméther-luméfantrine
 - 100 % dans le groupe artésunate-amodiaquine
- Parasitémie persistante à J3 chez porteurs mutation K13
- clairance parasitaire ≥ 5h chez porteurs mutation K13

1							_
		Parasite clearanc	e half-life		Parasites o	n day 3	
		Median (IQR), h	≥5 h	<5 h	Positive	Negative	
	Artemether-lumefantrine (n=87)	*					
	k13 wild type on day 0 (n=66)	3.9 (2.81-4.64)	10 (15%)	56 (85%)	3 (5%)	63 (95%)	
	k13 with Arg561His mutation on day 0 (n=21)	6-1 (5-26-6-62)	18 (86%)	3 (14%)	8 (38%)	13 (62%)	
	Artesunate-amodiaquine (n=86)	*					
	k13 wild type on day 0 (n=68)	3.6 (2.91–5.10)	18 (26%)	50 (74%)	8 (12%)	60 (88%)	
	k13 with Arg561His mutation on day 0 (n=18)	6.0 (5.55–6.37)	16 (89%)	2 (11%)	10 (56%)	8 (44%)	
1							

Data are n (%) unless otherwise stated. k13=kelch13. *k13 sequencing was unsuccessful for one sample from the 88 patients in the artemether-lumefantrine group and two samples from the 88 patients in the artesunate-amodiaquine group.

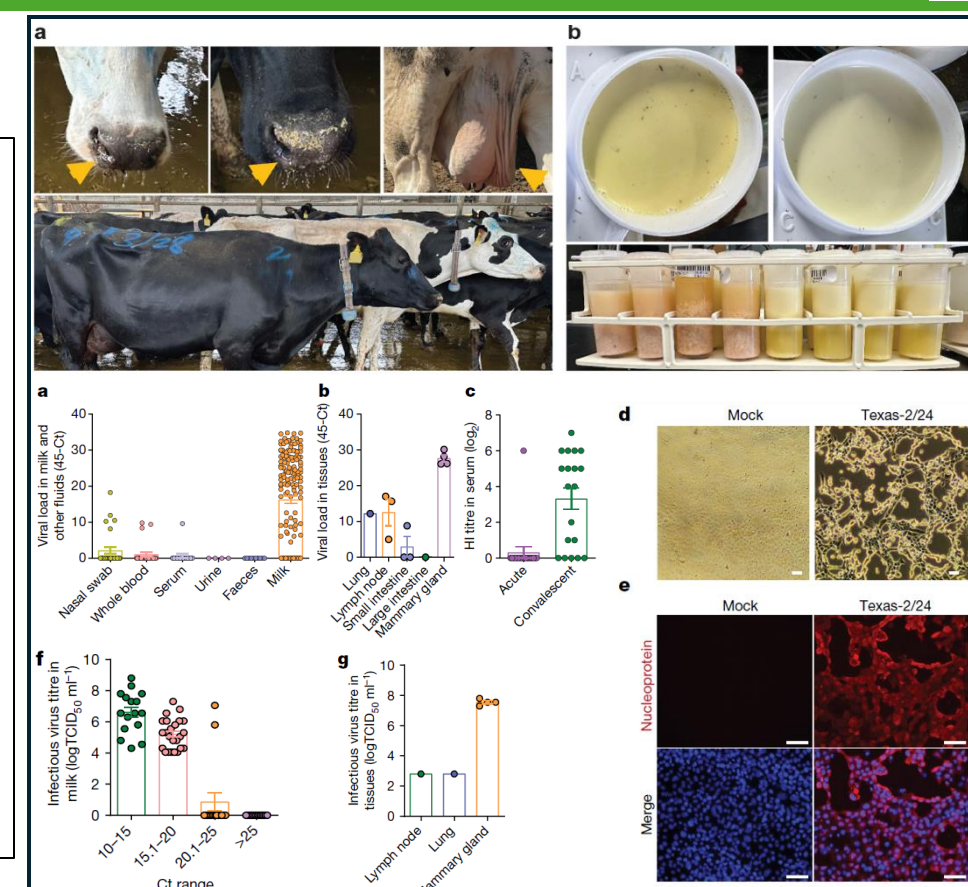
- Confirmation de résistance partielle à l'artémisinine dans 4^{ème} pays d'Afrique (Erythrée, Rwanda et Ouganda)
- Conservation de l'efficacité des ACT (artéméther-luméfantrine et artésunateamodiaquine)
- Surveillance moléculaire des marqueurs de résistance



Article

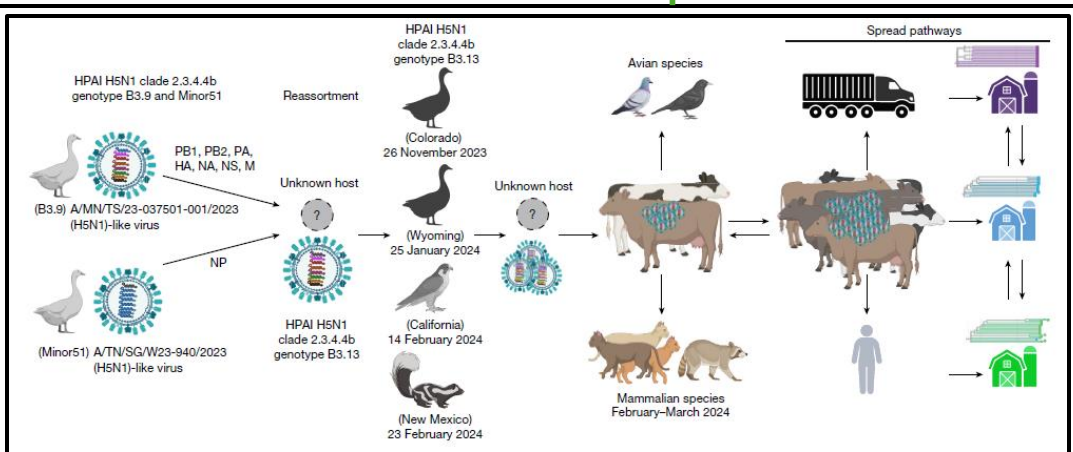
Spillover of highly pathogenic avian influenza H5N1 virus to dairy cattle

- transmission du virus HPAI H5N1 aux vaches laitières dans plusieurs États des États-Unis (clade 2.3.4.4b)
- Spectre clinique large :
 - a/paucisymptomatique
 - Anorexie, diarrhées
 - détresse respiratoire
 - baisse de la production laitière, accompagnée de lait anormal +++
- virus infectieux et l'ARN viral ont été détectés de manière constante dans le lait des vaches atteintes
- tropisme marqué pour les cellules épithéliales tapissant les alvéoles de la glande mammaire





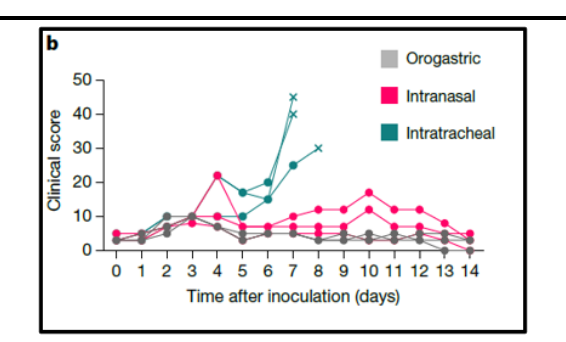
- séquences génomiques complètes du virus récupéré chez des vaches laitières, des oiseaux, des chats domestiques et un raton laveur issus de fermes touchées
 - => transmissions inter-espèces multidirectionnelles.
- transmission efficace de vache à vache
- Ces résultats démontrent la transmission du virus HPAI H5N1 dade 2.3.4.4b dans un contexte non traditionnel, soulignant la capacité du virus à franchir les barrières d'espèce.

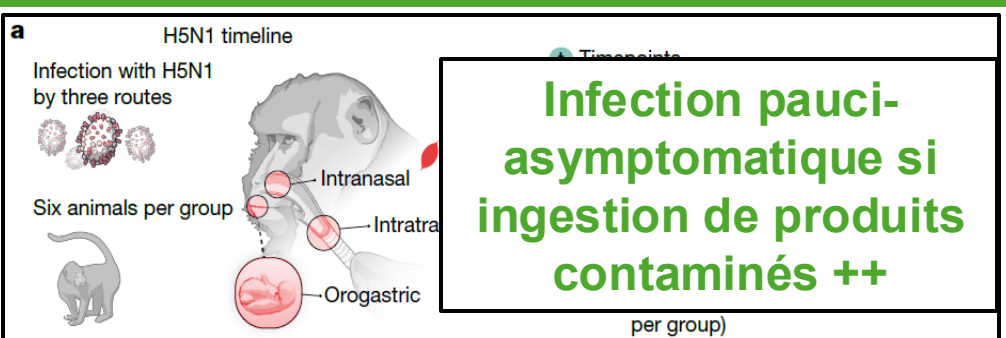


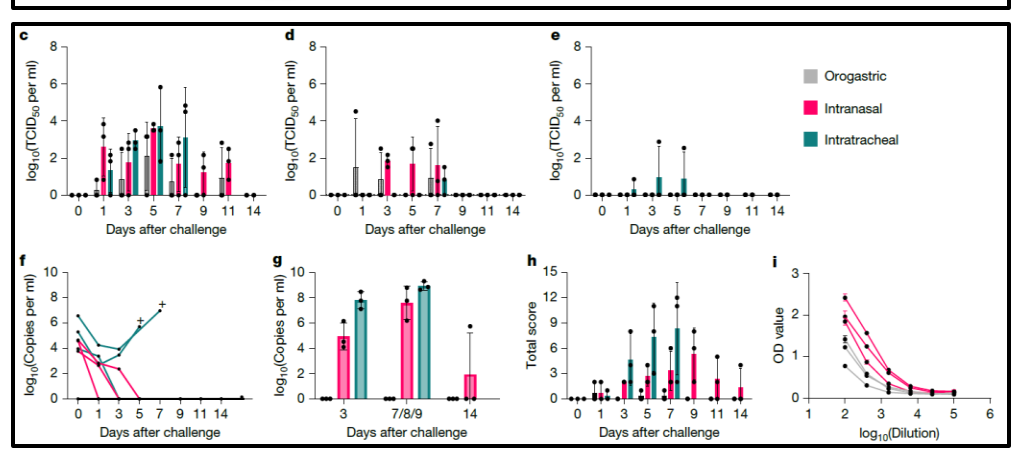


Pathogenesis of bovine H5N1 clade 2.3.4.4b infection in macaques

- Mars 2024, le clade 2.3.4.4b du virus HPAIV H5N1 détecté pour la première fois chez des vaches laitières au Texas.
- les titres élevés du virus dans le lait font craindre une exposition des mammifères, y compris de l'homme, par le biais de la consommation
- Etude des voies d'infection par le virus HPAIV H5N1 bovin de clade 2.3.4.4b chez des macaques cynomolgus





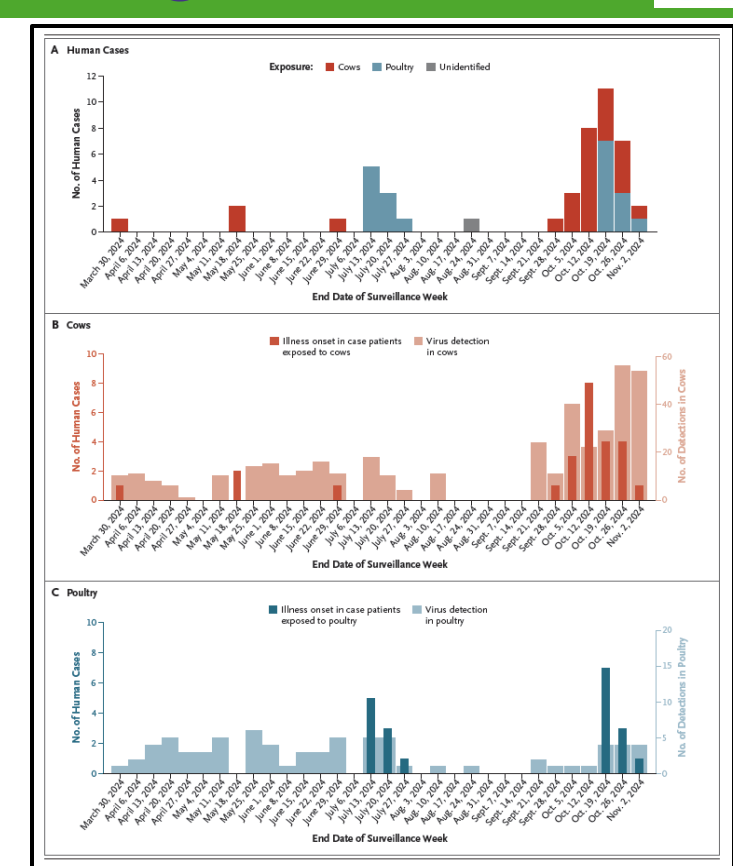




ORIGINAL ARTICLE

Highly Pathogenic Avian Influenza A(H5N1)
Virus Infections in Humans

- ❖ 46 patients entre le 28/03 et 31/10/24 :
- 20 ont été exposés à des volailles infectées
- 25 exposés à des vaches laitières infectées ou présumées infectées
- 1 cas sans facteur d'exposition identifié





Variable	Exposure to Poultry (N = 20)	Exposure to Dairy Cows (N = 25)	Overall (N = 45)	
Signs and symptoms				
Conjunctivitis — no. (%)	19 (95)	23 (92)	42 (93)	
Measured fever or feeling feverish — no. (%)	12 (60)	10 (40)	22 (49)	
Respiratory symptoms — no. (%)†	9 (45)	7 (28) 5 (20)	16 (36) 8 (18)	
Cough	3 (15)			
Sore throat	7 (35)	6 (24)	13 (29)	
Shortness of breath	3 (15)	4 (16)	7 (16)	
Myalgia — no. (%)	11 (55)	8 (32)	19 (42)	
Headache — no. (%)	11 (55)	9 (36)	20 (44)	
Fatigue — no. (%)	6 (30)	4 (16)	10 (22)	
Nausea — no. (%)	6 (30)	0	6 (13)	
Vomiting — no. (%)	1 (5)	1 (4)	2 (4)	
Diarrhea — no. (%)	2 (10)	0	2 (4)	
Clinical constellations				
Status with respect to conjunctivitis — no. (%)				
Conjunctivitis only	4 (20)	11 (44)	15 (33)	
Conjunctivitis plus any respiratory symptom	8 (40)	6 (24)	14 (31)	
Conjunctivitis plus any nonrespiratory symptom	7 (35)	6 (24)	13 (29)	
Only nonconjunctival symptoms	1 (5)	2 (8)	3 (7)	
Symptoms still present at time of interview — no. (%)	2 (10)	7 (28)	9 (20)	
Median no. of days with symptoms (range)‡	2.0 (1.0-8.0)	5.0 (2.0-7.0)	4.0 (1.0-8.0)	
Oseltamivir treatment — no. (%)	18 (90)	21 (84)	39 (87)	
Median no. of days between symptom onset and treatment (range)§	1.0 (0-8.0)	2.5 (0-8.0)	2.0 (0–8.0)	
Median no. of days of oseltamivir treatment (range) ¶	5.0 (3.0–10.0)	5.00 (5.0–10.0)	5.0 (3.0–10.0)	
Hospitalization — no.	0	0	0	
Death — no.	0	0	0	

- 45 patients symptomatiques
- 1 patient asymptomatique
- Formes cliniques:
 - Formes légères à modérées
 - Pas de cas sévère, pas de décès imputable
- Tableau dominé par un syndrome grippal non spécifique et une conjonctivite +++



CORRESPONDENCE

Critical Illness in an Adolescent with Influenza A(H5N1)
Virus Infection

- Patiente de 13 ans (asthme et BMI > 30)
- Premier cas de forme sévère d'infection a H5N1 en Amérique du Nord (Colombie Britannique)
- Admission en ICU sur un tableau de détresse respiratoire aigue d'apparition brutale
- Tableau initialement dominé par fièvre et conjonctivite bilatérale pendant les 3 premiers jours

Jassem et al. N Engl J Med. 2024 Dec 31. doi: 10.1056/NEJMc2415890

Ç	SC	CDC Newsroom EXPLORE TOPICS	Q SEARCH
		First H5 Bird Flu Death Reported in United States	ESPANICA
		STATEMINT CDC Media Relations 10 (40.4) (399-3286 Por immediate release: January 6, 2025 thtps://www.cdc.gov/media/	
*		06 janvier 2025 : Description du premier cas mo homme de 65 avec comorbidités dans l'état de L	
*		puis 2 cas autres cas (non mortels) ont été recense ressité d'admission en soins intensifs (Ohio et Wy	
		https://www.cdc.gov/bird-flu/situation-summary/index.html?c	cove-tab=0

Mpox Clade II

Mpox in people with past infection or a complete vaccination course: a global case series

	Mpox after first infection	Mpox infection after two MVA-BVN vaccines (n=30)				
	First infection (n=8)	Second infection (n=8)				
Type of rash						
Vesiculopustular rash	4/8 (50%)	3/8 (38%)	7/30 (23%)			
Multiple ulcers	4/8 (50%)	3/8 (38%)	9/30 (30%)			
Single ulcer	0/8	2/8 (25%)	12/30 (40%)			
Umbilicated lesions	0/8	0/8	2/30 (7%)			
Number of lesions	10 (3-17); 2-30	5 (1-16); 1-50	2 (1-5); 1-50			
Duration of rash, days	21·5 (18-30); 15-35; n=6	15 (5-20); 5-21; n=6	14 (10-16); 5-21; n=15			
Anogenital lesion present						
Anogenital mucosal lesions	2/8 (25%)	4/7 (57%)	4/26 (15%)			
Anogenital skin lesions	4/8 (50%)	3/7 (43%)	15/26 (58%)			
Both mucosal and skin lesions	2/8 (25%)	0/7	7/26 (27%)			
Oral lesion present						
Mucosal lesions	3/3 (100%)	0	2/3 (67%)			
Peri-oral lesions	0	0	0			
Both	0	0	1/3 (33%)			
Non-genital lesion present						
Trunk or limbs, or both	5/6 (83%)	2/2 (100%)	4/6 (66%)			
Face	1/6 (17%)	0	2/6 (33%)			
Ocular	0	0	0			
Exanthem	0	0	0			
Did the patient receive mpox anti-viral (tecovirimat)?						
No	6/6 (100%)	6/6 (100%)	28/30 (93%)			
Yes	0/6	0/6	2/30 (7%)			
Data are n/N (%) or median (IQR); ra	ange. MVA-BN=Modified Vacc	inia Ankara-Bavarian Nor	dic.			

	Mpox after first infection		Mpox infection after two MVA-BN vaccines (n=30)			
	First infection (n=8)	Second infection (n=8)				
Median score by category			,			
Active lesion burden, number†	1	1	1			
Lesion burden, extent of body involvement‡	1.5	1	1			
Confluent lesion or lesions with diameter > 2 cm	0	0	0			
Treatment for bacterial superinfection	0	0	0			
Mucosal areas affected§¶	3	2	0			
Level of care	1	1	1			
Pain, analgesia requirement**	1	0	0			
Overall score	7 (7-10); 3-12	5·5 (4-7); 3-10	5 (3-7); 3-11			
Data are median or median (IQR); range. MVA-BN-Modified Vaccinia Ankara-Bavarian Nordic. *Each category ranges in score between 1 and 4; the sum of scores ranges from 1 through 23; full scoring system available in the appendix (p 4). Itincludes only pox lesions. Healed lesions (scab absent and fresh skin present) not included. Rash from erythema multiforme or any other causes not included. #Includes each area as discrete area (head or neck; chest or abdomen; back; groin, buttocks, or anus; left arm; left hand; right arm; right hand; left leg; left foot; right leg; and right foot). Sincludes each area discrete area (anorectal; orophanyngeal; genital [solely mucosal]; and coulan; filmoldes proctitis, urethritis, and orophanyngitis in the absence of lesions. [Highest level of care required (outpatient, inpatient, non-intensive care unit related to mpox; inpatient, on-intensive care unit related to mpox; outpatient, intensive care unit related to mpox; and death). **Highest level of analgesia required (no pain medication, outpatient, oral pain medication, including topical; inpatient, oral pain medicator, inpatient, intravenous pain medications.						

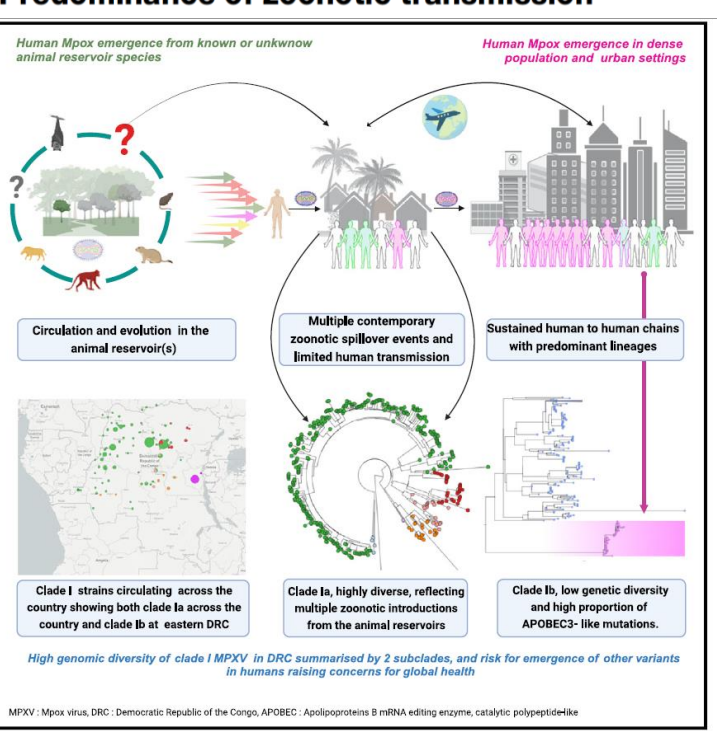
Table 3: Mpox severity score system calculations*

- 37 cas de mpox (HSH): 7 réinfections, 29 infections après deux vaccinations, convenablement espacées
- L'âge médian des individus était de 36 ans (IQR 30-45 ; intervalle 21-58)
- Les personnes bénéficiant d'une immunité naturelle après l'infection initiale présentaient une évolution plus courte de la maladie et une manifestation clinique moins profuse
- Les infections post-vaccinales ont été caractérisées par peu de lésions, peu de maladies des muqueuses et des lésion peu douloureuses





Clade I mpox virus genomic diversity in the Democratic Republic of the Congo, 2018–2024: Predominance of zoonotic transmission



				Ratio APOBEC3/	APOBEC3/
Clade – group	APOBEC3	Other	Total	other	total, %
Overall clade la	195	1,632	1,827	0.119	10.7%
Clade la - group 1	5	95	100	0.053	5.0%
Clade la - group 2	147	1,112	1,259	0.132	11.7%
Clade la - group 3	11	145	156	0.076	7.1%
Clade la - novel	28	221	249	0.127	11.2%
Clade la - group 4	1	12	13	0.083	7.7%
Clade la - group 5	1	33	34	0.030	2.9%
Overall clade Ib	29	111	140	0.261	20.7%
Clade Ib internal branches	23	41	64	0.561	35.9%

- Deux modes de transmission contribuent aux cas humains de Mpox en RDC
- Le clade la prédomine en RDC et présente une grande diversité génétique
- Le faible nombre de mutations APOBEC3 dans le dade la suggère des introductions zoonotiques multiples
- La diversité génétique limitée du clade lb illustre une émergence récente chez l'homme

Mpox Clade I



The NEW ENGLAND JOURNAL of MEDICINI

ORIGINAL ARTICLE

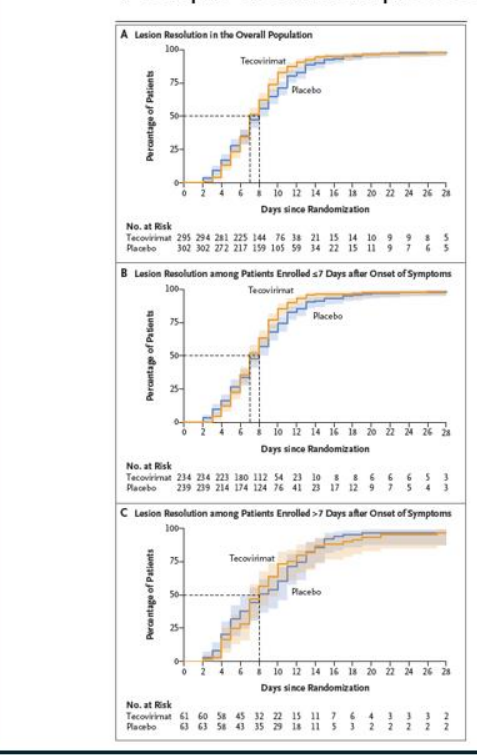
Tecovirimat for Clade I MPXV Infection in the Democratic Republic of Congo

The PALM007 Writing Group

- Essai contrôlé randomisé en double aveugle
- Teicovirimat VS Placebo +SOC
- Au moins une lésion compatible + RT-PCR +
- Randomisé 1:1 et stratifié si lésions >7 j et <7 j
- critère d'évaluation principal:
 - résolution des lésions mpox, mesurée comme le nombre de jours entre la randomisation et le premier jour où toutes les lésions cutanées ont été recouvertes d'une croûte
- 7/10/2022 au 9/07/2024 :
 - 597 patients randomisés
 - 295 tecovirimat
 - 302 pour recevoir le placebo

Sur le plan dinique:

- Pas de différence sur le nombre de lésions
- Y compris si traitement précoce (< 7 j)



PALM007 Writing group N Engl J Med 2025;392:1484-96.

Mpox Clade I



Sur l'analyse en sous-groupe :

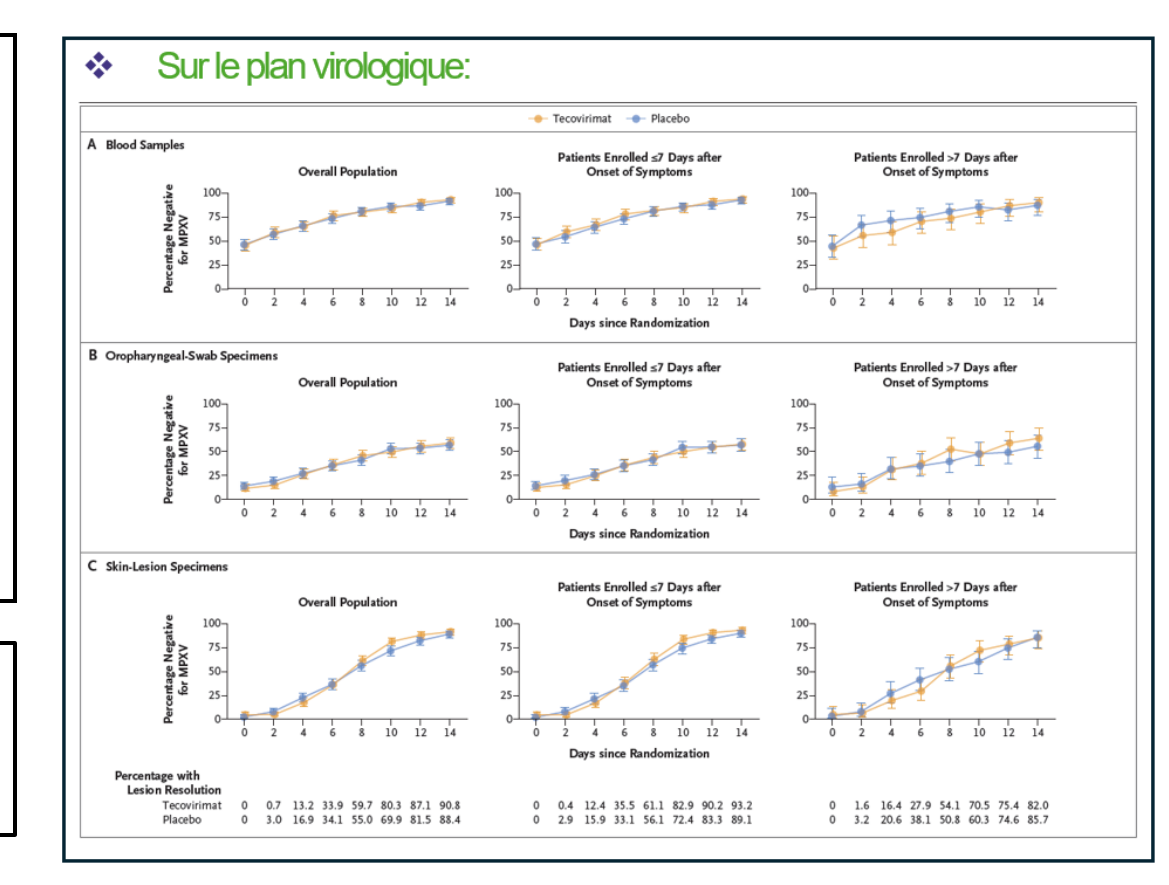
Subgroup	No. of	No. of Patients		of Resolution % CI)	Cox Hazard Ratio (95% CI)	
	Placebo	Tecovirimat	Placebo	Tecovirimat		
Overall (stratified)	302	295	8 (7-9)	7 (7-8)	-	1.15 (0.98-1.36)
Trial site					i	
Kole	144	140	9 (8-10)	7 (7-8)		1.46 (1.15-1.85)
Tunda	158	155	7 (6-8)	7 (7-8)		0.92 (0.73-1.15)
Duration of symptoms						
≤7 days	239	234	8 (7-8)	7 (7-8)	<u> </u>	 1.19 (0.99–1.43)
>7 days	63	61	8 (7-11)	8 (7-10)	-	1.03 (0.72-1.48)
Duration of symptoms (sensitivity an	alysis)				i	
≤4 days	102	89	8 (7-9)	8 (7-8)	+	1.30 (0.97-1.73)
5-7 days	137	145	8 (7-9)	7 (7-8)		1.12 (0.89-1.42)
>7 days	63	61	8 (7-11)	8 (7-10)	-	1.03 (0.72-1.48)
Age group						
<5 yr	74	73	8 (6-9)	7 (7-8)	-	1.25 (0.90-1.74)
5-17 yr	126	111	7 (7-9)	7 (7-8)		1.12 (0.86-1.45)
≥18 yr	102	111	9 (7-10)	8 (7-9)		1.15 (0.87-1.50)
Lesion count at baseline						
1-100 (mild or moderate)	113	96	5 (5-6)	6 (6-7)	-	1.12 (0.85-1.48)
>100 (severe or grave)	189	199	9 (8-10)	8 (8-9) 0.5	5 1.0	1.20 (0.98–1.48)

Figure 3. Days to Lesion Resolution According to Subgroup in the Intention-to-Treat Population.

A sensitivity analysis with the timing of symptom onset stratified into three categories (se4 days, 5 to 7 days, and >7 days before randomizationy was post hoc. The overall hazard ratio was estimated with the use of a Cox proportional-hazards model with stratification according to the timing of symptom onset before randomization (sr2 days and >7 days). Other estimates of hazard ratios were derived from Cox models with treatment-by-covariate interaction terms. Median days to resolution was estimated with the Kaplan-Meier procedure. CI denotes confidence interval.

A noter une différence de mortalité significative dans l'essai

1,7 % VS 4,6 % (RDC 2023)

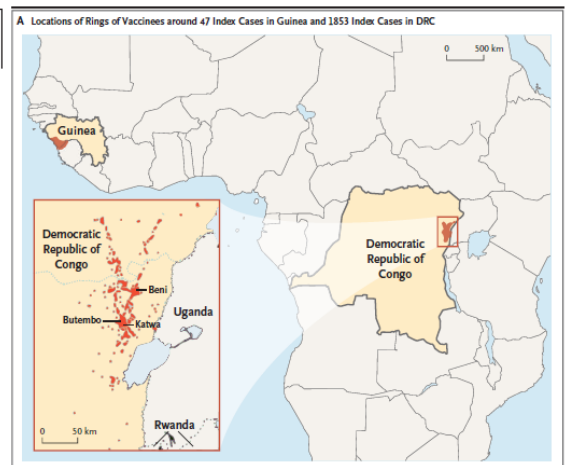


Fièvre Hémorragique virale: Ebola

ORIGINAL ARTICLE

Ebola Outbreak Response in the DRC with rVSV-ZEBOV-GP Ring Vaccination

- Essai vaccinal visant à évaluer
 l'incidence de la MVE au cours des
 9 premiers jours suivant la vaccination en anneau
- Du 8 août 2018 au 14 janvier 2020: 265 183 patients vaccinés.
- Dont 102 515 ont été suivis aux jours 0, 3 et 21 pour les données de sécurité



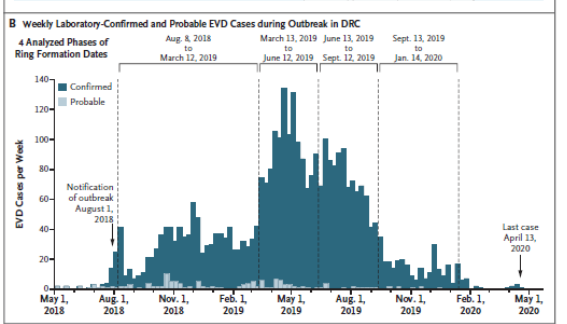
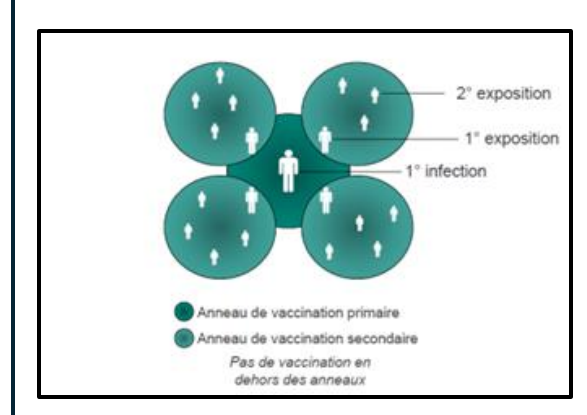


Figure 1. Ring Vaccination Sites in Guinea (2015) and Democratic Republic of Congo (2018–2020).

Panel A shows the locations of rings of vaccinees around 47 index cases in Guinea and 1835 cases in the Democratic
Republic of Congo (DRC). Panel B shows the weekly laboratory-confirmed and probable cases of Ebola virus disease
(EVD) during the DRC outbreak.





Fièvre Hémorragique virale: Ebola

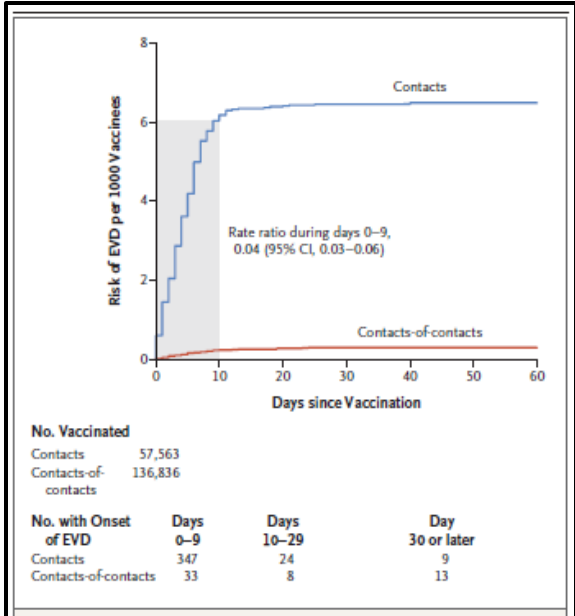


Figure 2. Risk of EVD among Vaccinees during Eastern DRC Outbreak (2018–2020).

Shown is the rate of EVD per 1000 contacts and contacts-of-contacts who received the iNSV-ZEBOV-GP vaccine in rings formed around index cases. The shaded area indicates the first 9 days after vaccination, the period during which little protection was expected from case isolation or ring vaccination.

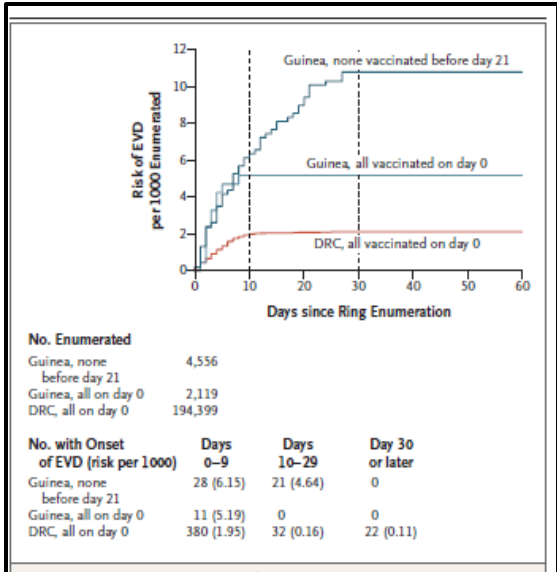


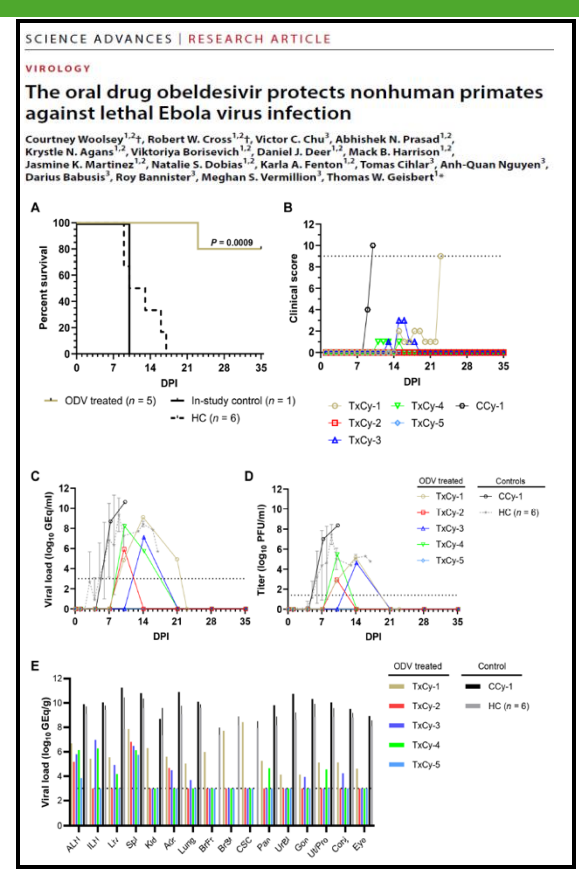
Figure 3. EVD Onset in Guinea and DRC Rings among Contacts or Contacts of-Contacts of EVD Cases.

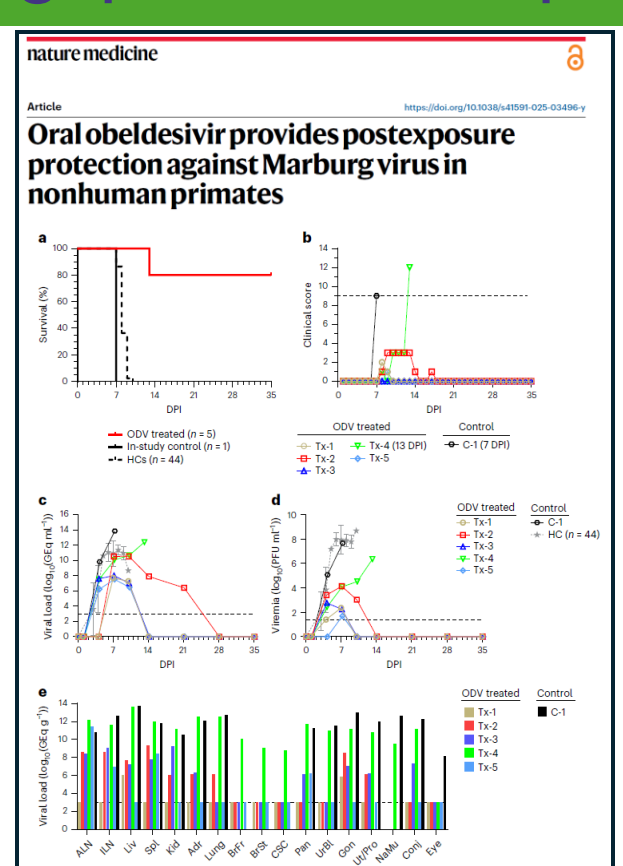
Shown is the EVD onset in contacts or contacts-of-contacts through 60 days according to the days since ring enumeration in the DRC outbreak (2018–2020) and in the Guinea trial (2015) according to whether vaccination was scheduled to be performed on day 0 or day 21. In both populations, similar methods were used to form rings, isolate cases, protect against spread, and monitor EVD onset in ring members. Data for analyses in Guinea were censored at day 30 for ring members who had not been vaccinated by then.

- Dans chaque sous-groupe, les taux de MVE ont chuté brusquement à J 10
- le taux d'apparition de la MVE entre le 10e et le 29e jour était de 0,16 pour 1 000
- Ce taux << au taux de 4,64 pour 1000 observé chez des membres d'anneaux similaires en Guinée
- Aucun problème concernant l'innocuité du vaccin n'aurait été identifié.

Fièvre Hémorragique virale: Trt prophylactique







- Essai prédinique de protection sur primates non humain (macaque cynomolgus)
- Administration en post-exposition d'un traitement PO par Obeldesivir 100 mg/kg/j pendant 10 jours
- Challenge létal par Marburg virus / Ebola virus (1000 PFU) IM
- 5 animaux avec traitement postchallenge
- 1 contrôle « in-study » associé à des contrôles historiques
- Protection de 80 % pour les animaux traités
 - Formes modérées à légères de la maladie pour 4/5 NHP

Woolsey C et al Sci Adv. 2025 Mar 14;11(11):eadw0659.

Cross, R.W et al. Nat Med 31, 1303-1311 (2025)

Fièvre Hémorragique de Crimée-Congo



Detection of Crimean–Congo haemorrhagic fever virus in *Hyalomma marginatum* ticks, southern France, May 2022 and April 2023

FIGURE

Map showing areas where ticks were collected from cattle and horse farms for analysis of Crimean-Congo haemorrhagic fever virus, France, May 2022 and April 2023 (n =57)



Boxes Indicate the name of each department, the animal species (horse or cattle) from which ticks were collected and the number of ticks tested positive for Crimean—Congo haemorrhagic fever virus. The departments coloured green were sampled in 2022 and the one coloure purple was sampled in 2022 and 2023.

Bernard et al. Euro Surveill. 2024 Feb 8;29(6):2400023

Crimean-Congo Hemorrhagic Fever Virus in Ticks Collected from Cattle, Corsica, France, 2023



CCHFV-positive ticks
CCHFV-negative ticks

Kiwan et al . Emerg Infect Dis. 2024 May;30(5):1036-1039

- Confirmation par 2
 travaux d'équipes
 distinctes de
 l'installation de FHCCv
 dans la population de
 tique Hyalomma spp
 dans le Sud de la
 France
- Risque considéré comme faible pour la population générale
- Pas de cas autochtone pour le moment

Merci de votre attention



* Remerciements:

Groupes SPILF Emergences:

Jean-Marc CHAPPLAIN

Marie-Charlotte CHOPIN-

ALAMARTINE

François GOEHRINGER

Nived Collercandy

Charlotte BOULLE

Michel CARLES

Catherine CHIROUZE

Carole ELDIN

Loïc EPELBOIN

Cyrille GOURJAULT

Marie JASPARD

Vincent LE MOING

Guillaume MARTIN-

BLONDEL

Bénédicte MELOT

Duc NGUYEN

Thomas PERPOINT

Cécile POUDEROUX

Alice RAFFETIN

Nadia SAÏDANI

Aymeric SEVE

Yacine TANDJAOUI-

LAMBIOTTE

France WALLET

• <u>UBIVE:</u>

Sylvain BAIZE

Mathieu MATEO

Xavier CARNEC

Stéphanie REYNARD

Caroline PICARD

Clara GERMAIN

Clémentine LARIGNON

Béatrice RENAUDIN

Alexandra JOURNEAUX

Clelia GIRAUDOT

Kodie NOY

Hadrien COUSSEAU

Laura SOYER







Une actualité riche et qui s'accélère!

